

Residue Number System und Modulararithmetik

Patrick Russell

Dresden, 18. Juni 2015

Zahlendarstellung

RNS Systeme

Anwendungsbeispiele

Literatur

01 Zahlendarstellung

- Darstellung von Zahlen als Tupel von Resten in Bezug auf eine vorher definierte Menge teilerfremder Moduli

Gewichtete Zahl: $Z = (z_{(k-1)}, z_{(k-2)}, \dots, z_0)$

Moduli Menge: $(m_{(n-1)}, m_{(n-2)}, \dots, m_0)$

RNS-Darstellung: $(x_{(n-1)}, x_{(n-2)}, \dots, x_0)$

$$x_i = Z \bmod m_i = |Z|_{m_i}, \quad 0 \leq x_i < m_i$$

Vorzeichenlose RNS Darstellung (5,3,2)

N	Residue to base			N	Residue to base			N	Residue to base		
	5	3	2		5	3	2		5	3	2
0	0	0	0	10	0	1	0	20	0	2	0
1	1	1	1	11	1	2	1	21	1	0	1
2	2	2	0	12	2	0	0	22	2	1	0
3	3	0	1	13	3	1	1	23	3	2	1
4	4	1	0	14	4	2	0	24	4	0	0
5	0	2	1	15	0	0	1	25	0	1	1
6	1	0	0	16	1	1	0	26	1	2	0
7	2	1	1	17	2	2	1	27	2	0	1
8	3	2	0	18	3	0	0	28	3	1	0
9	4	0	1	19	4	1	1	29	4	2	1

$$R_5 = 13 \bmod 5 = 3$$

$$R_3 = 13 \bmod 3 = 1$$

$$R_2 = 13 \bmod 2 = 1$$

$$\Rightarrow [3, 1, 1]$$

$$R_5 = 8 \bmod 5 = 3$$

$$R_3 = 8 \bmod 3 = 2$$

$$R_2 = 8 \bmod 2 = 0$$

$$\Rightarrow [3, 2, 0]$$

Vorzeichenbehaftete RNS Darstellung (5,3,2)

N	Residue to base			N	Residue to base			N	Residue to base		
	5	3	2		5	3	2		5	3	2
0	0	0	0	10	0	1	0	-10	0	2	0
1	1	1	1	11	1	2	1	-9	1	0	1
2	2	2	0	12	2	0	0	-8	2	1	0
3	3	0	1	13	3	1	1	-7	3	2	1
4	4	1	0	14	4	2	0	-6	4	0	0
5	0	2	1	-15	0	0	1	-5	0	1	1
6	1	0	0	-14	1	1	0	-4	1	2	0
7	2	1	1	-13	2	2	1	-3	2	0	1
8	3	2	0	-12	3	0	0	-2	3	1	0
9	4	0	1	-11	4	1	1	-1	4	2	1

$$R_5 = -13 \bmod 5 = 2$$

$$R_3 = -13 \bmod 3 = 2$$

$$R_2 = -13 \bmod 2 = 1$$

$$\Rightarrow [2, 2, 1]$$

$$R_5 = -8 \bmod 5 = 2$$

$$R_3 = -8 \bmod 3 = 1$$

$$R_2 = -8 \bmod 2 = 0$$

$$\Rightarrow [2, 1, 0]$$

Chinese Remainder Theorem (CRT)

- Bei einer gegebenen teilerfremden Menge an Moduli ist die Menge an Resten für jede Zahl $X < M$ einzigartig, wobei:

$$M = \prod_{i=0}^n m_i$$

Beweis:

$$(m_{(n-1)}, m_{(n-2)}, \dots, m_0)$$

$$x_i = y_i$$

X - Y Vielfaches von m_i

$$X = (x_{(n-1)}, x_{(n-2)}, \dots, x_0) \Rightarrow x_i = X \bmod m_i \Rightarrow X - Y \text{ Vielfaches von } M$$

$$Y = (y_{(n-1)}, y_{(n-2)}, \dots, y_0) \quad y_i = Y \bmod m_i \quad X \text{ oder } Y \geq M$$

Warum RNS?

- „Carry-freie“ Addition, Subtraktion und Multiplikation durch parallele Abarbeitung einzelner Ziffern
- Reduzierung der Laufzeit der Operation auf die Laufzeit des langsamsten Modulus

Binär (7-Bit)

$$\begin{array}{r} 0101101_2 \\ +0110000_2 \\ \hline 1011101 \end{array}$$

RNS (7,5,3,2)

$$\begin{array}{r} [3,0,0,1] \\ + [6,3,0,0] \\ \hline [2,3,0,1] \end{array} \quad \begin{array}{r} [011,000,00,1] \\ + [110,011,00,0] \\ \hline [010,011,00,1] \end{array}$$

Schwächen

- Keine einfachen Lösungen für Divisionen, Vergleiche, Überlauferkennung und Vorzeichenerkennung
- Hoher zeitlicher und räumlicher Overhead durch Konverter und modular rechnende Einheiten

RNS (7,5,3,2)

$$\begin{array}{r} [3,0,0,1] \\ + [6,3,0,0] \\ \hline [2,3,0,1] \end{array} \text{ Negativ? Überlauf?}$$

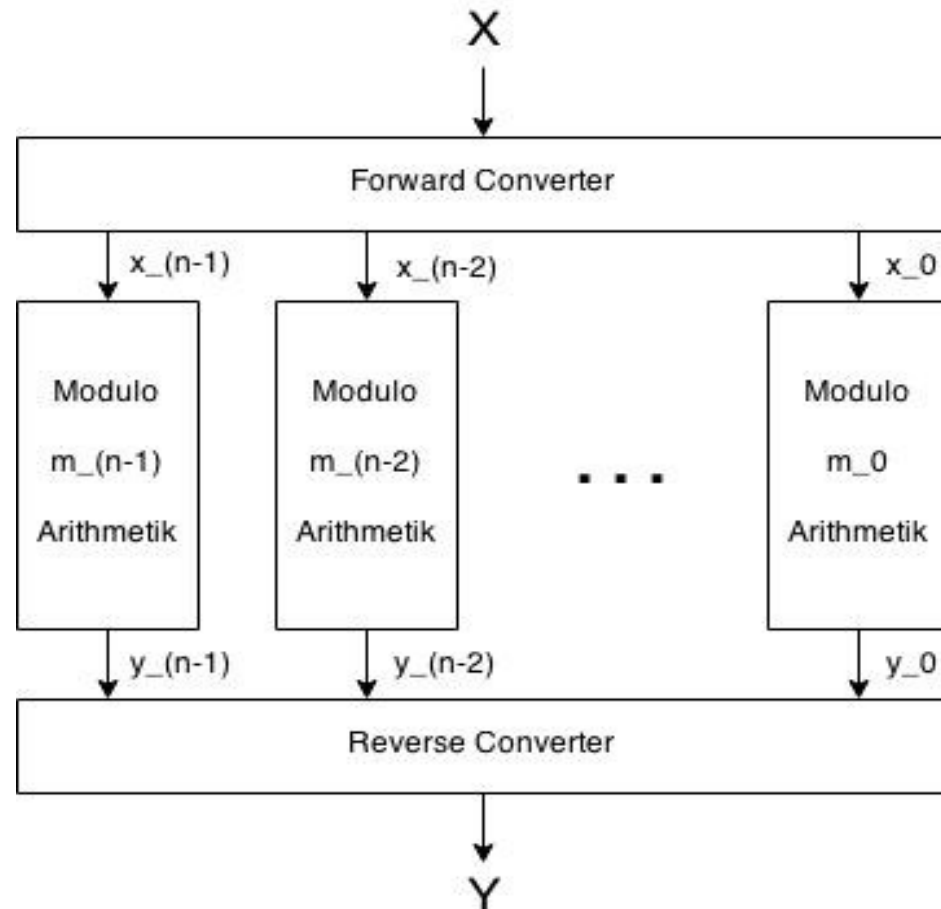
Zahlendarstellung

RNS Systeme

Anwendungsbeispiele

Literatur

02 RNS Systeme



Forward Converter

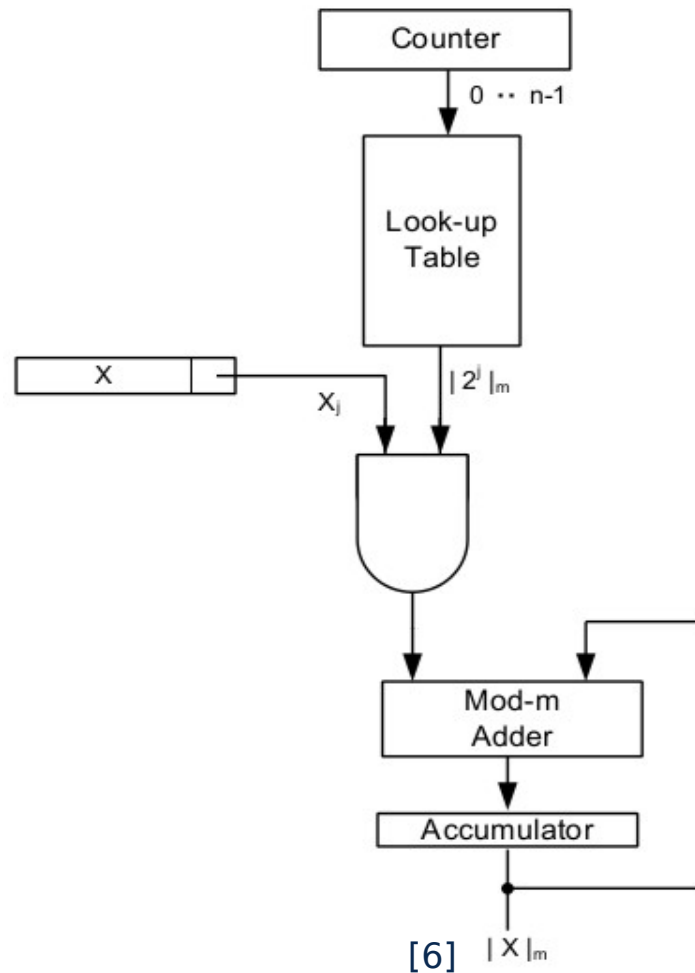
- Konvertierung in RNS Darstellung
- Lösung durch Zerlegen der Eingabezahlen
- Parallele oder serielle Implementierung

$$|X|_m = \left| \sum_{j=0}^{n-1} |x_j 2^j|_m \right|_m = \left| \sum_{j=0}^{k-1} |2^{jP} B_j|_m \right|_m$$

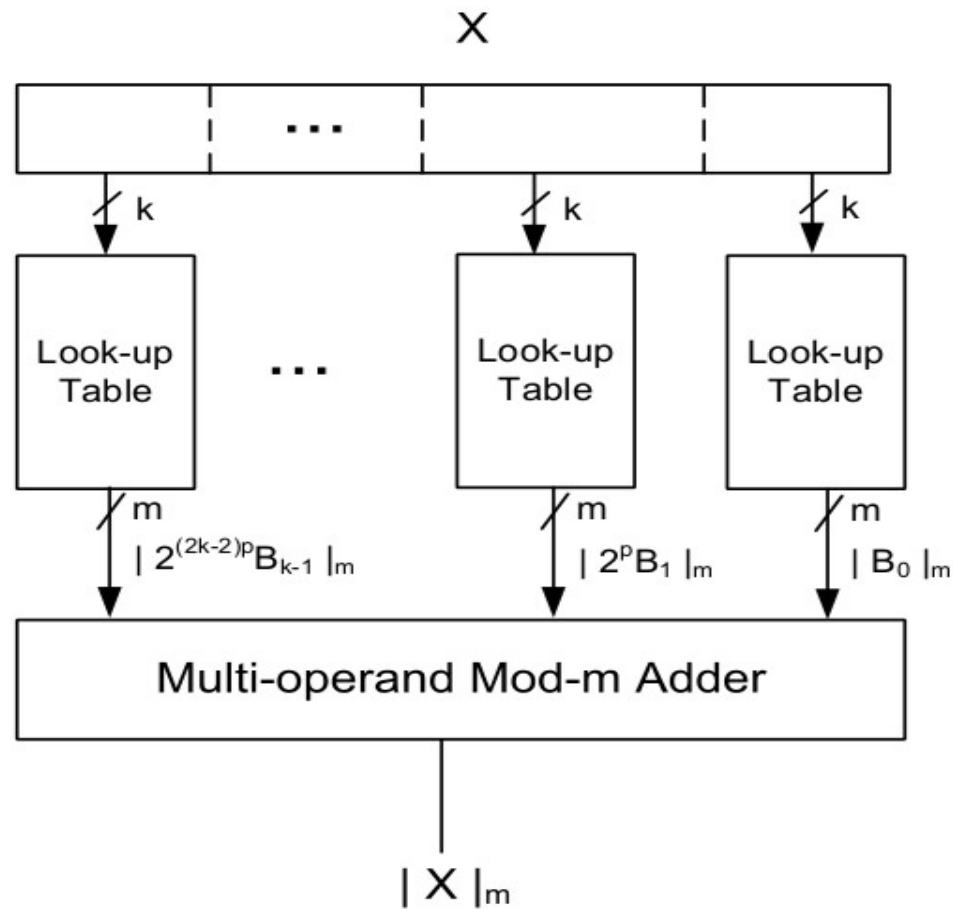
1	1	0	1	0	1	= 1 _m + 4 _m + 16 _m + 32 _m _m
5					0	

1	1	0	1	0	1	= 2 ⁰ *5 _m + 2 ⁴ *6 _m _m

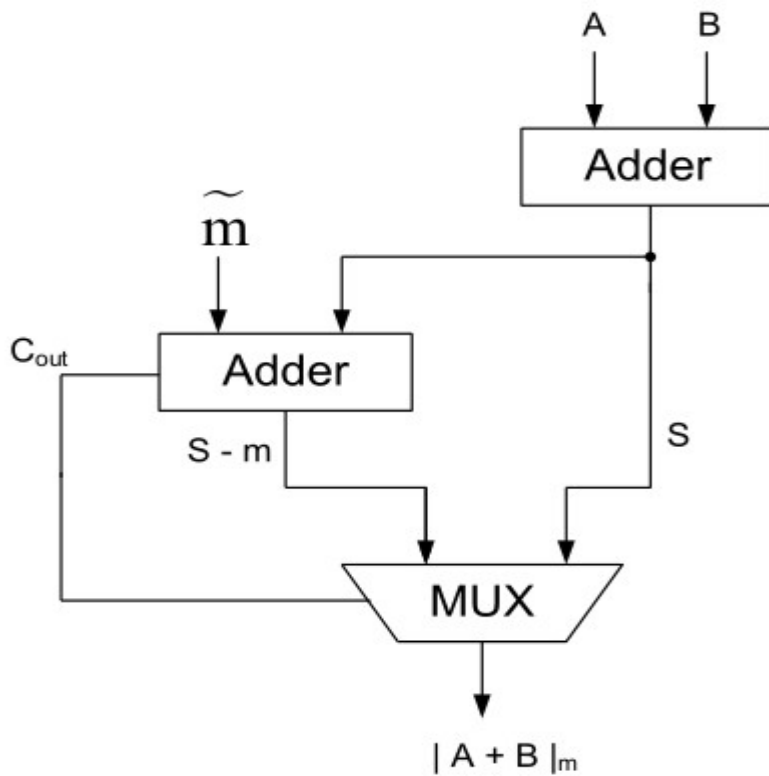
Forward Converter – seriell & bitweise



Forward Converter – parallel & blockweise



Modulo Addition



$$|A+B|_m = \begin{cases} A+B & \text{if } A+B < m \\ A+B-m & \text{otherwise} \end{cases}$$

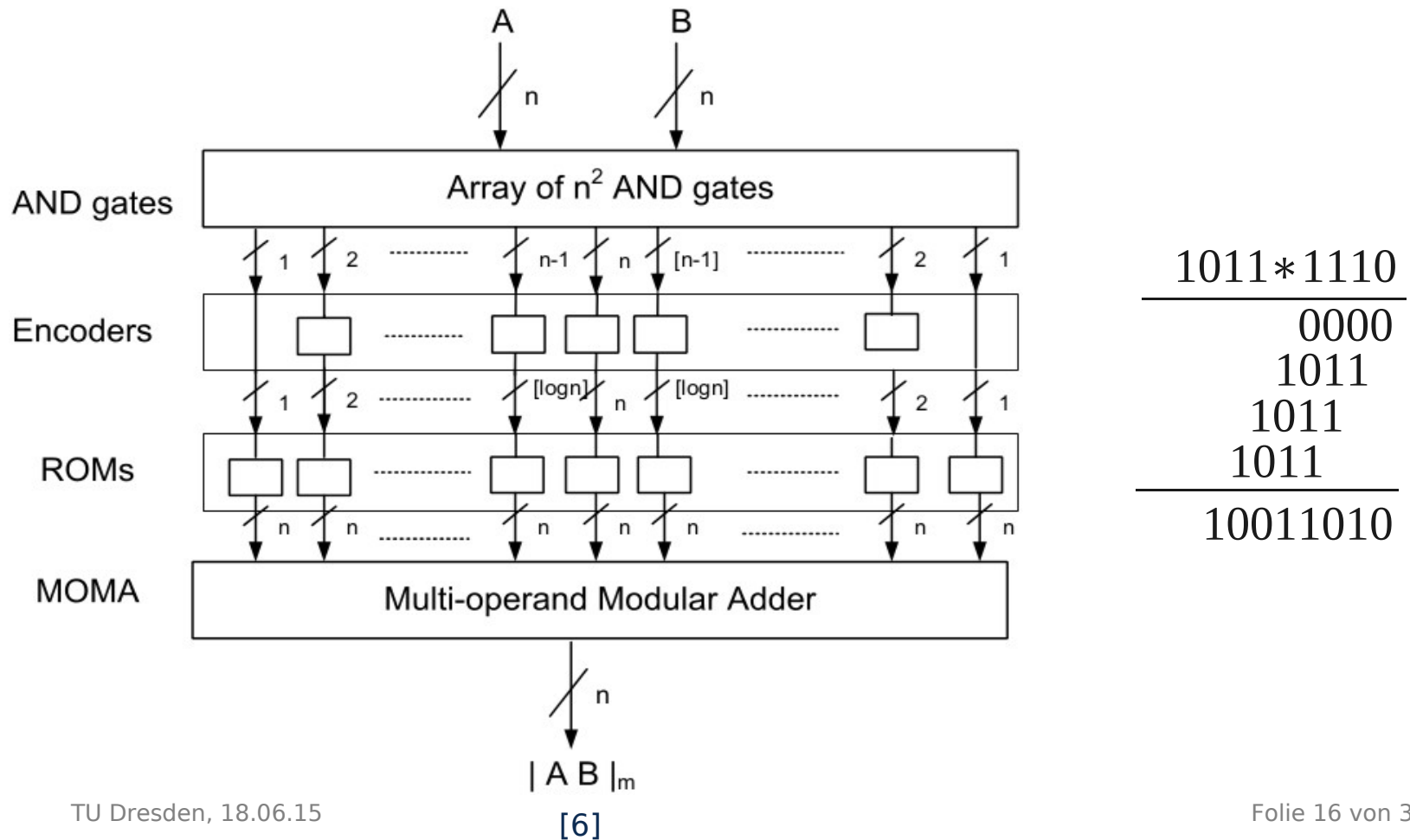
[6]

Modulo Multiplikation

- Reduktion des Produkts
- Reduktion der partiellen Produkte
- Look-Up-Tables

$$\begin{array}{r} 1011 * 1110 \\ \hline 0000 \\ 1011 \\ 1011 \\ 1011 \\ \hline 10011010 \end{array}$$

Modulo Multiplikation – partielle Reduktion



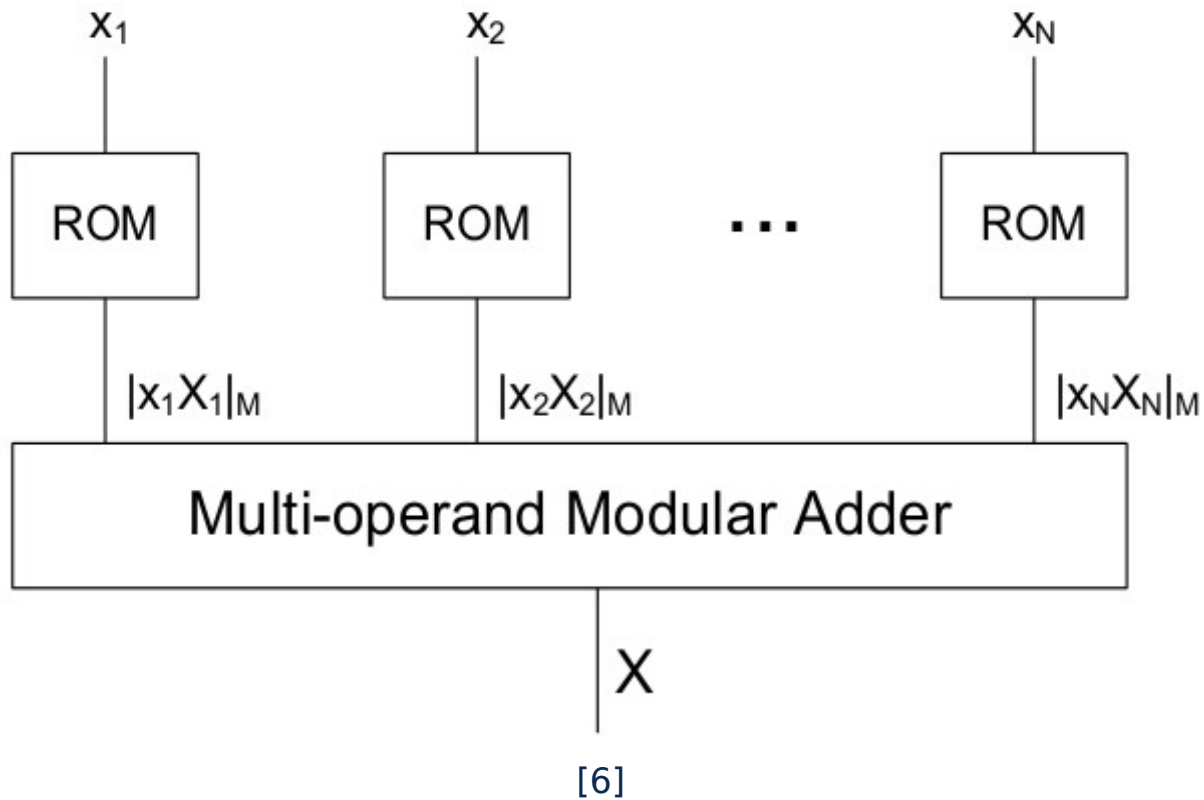
Reverse Converter

- Konvertierung von RNS in konventionelle Darstellung
- Lösung durch Ausnutzen des Chinese-Remainder-Theorem

$$X = \left| \sum_{i=0}^{n-1} |w_i * x_i|_M \right|_M$$

$$\begin{aligned} X &= (x_{(n-1)}, x_{(n-2)}, \dots, x_0) \\ &= |(x_{(n-1)}, 0, \dots, 0) + (0, x_{(n-2)}, 0, \dots, 0) + \dots + (0, \dots, 0, x_0)|_M \\ &= ||x_{(n-1)} * (1, 0, \dots, 0)|_M + |x_{(n-2)} * (0, 1, \dots, 0)|_M + \dots + |x_0 * (0, \dots, 0, 1)|_M|_M \end{aligned}$$

Reverse Converter (CRT)



Wahl der Moduli Menge

- Teilerfremde Moduli zur Vermeidung von Redundanz
- Effiziente binäre Darstellung der Ziffern
13: Effizienz 13/16, 17: Effizienz: 17/32
- Ausbalanciert: geringe Differenzen zwischen einzelner Moduli verhindern eine Dominanz des größten Modulus
- Vereinfachung der Implementierung

Moduli Mengen

Moduli Set	Moduli n.	RC		Critical Channel	Modular Adders		Modular Multipliers	
		Delay	Complexity		Delay	Complexity	Delay	Complexity
$\{2^n - 1, 2^n, 2^n + 1\}$ [4]	3	$16n + 8$	<u>$31n + 13$</u>	$(2^n + 1)$	$8n + 11$	$38n + 18$	$16n + 12$	$24n^2 + 7n + 15$
$\{2^{n-1} - 1, 2^n - 1, 2^n\}$ [5]	3	$24n - 2$	$54n - 45$	$(2^n - 1)$	<u>$8n$</u>	<u>$21n - 7$</u>	<u>$16n - 7$</u>	<u>$24n^2 - 35n + 12$</u>
$\{2^n - 1, 2^n, 2^{n+1} - 1\}$ [6]	3	<u>$8n + 30$</u>	$110n + 159$	$(2^{n+1} - 1)$	$8n + 8$	$21n + 7$	$16n + 9$	$24n^2 - 27n + 4$

[5]

Moduli Set	Moduli n.	RC		Critical Channel	Modular Adders		Modular Multipliers	
		Delay	Complexity		Delay	Complexity	Delay	Complexity
$\{2^n - 1, 2^n, 2^{2n+1} - 1\}$ [7]	3	$40n + 20$	$69n + 20$	$(2^{2n+1} - 1)$	$16n + 8$	<u>$38n + 25$</u>	$32n + 9$	$48n^2 + 9n + 4$
$\{2^n - 1, 2^n + 1, 2^{2n} + 1\}$ [8]	3	<u>$32n + 8$</u>	<u>$62n + 8$</u>	$(2^{2n} + 1)$	$16n + 11$	$58n + 36$	$32n + 12$	$48n^2 + 62n + 15$
$\{2^n - 1, 2^n, 2^n + 1, 2^{n+1} - 1\}$ [10-I]	4	$46n + 28$	$15n + 5 + 7/2(n^2 - 3n - 4)$	$(2^n + 1)$	<u>$8n + 11$</u>	$45n + 25$	<u>$16n + 12$</u>	<u>$32n^2 + 19n + 19$</u>
$\{2^n - 1, 2^n, 2^n + 1, 2^{n+1} + 1\}$ [10-II]	4	$48n + 62$	$7n^2 + 102n + 108$	$(2^{n+1} + 1)$	$8n + 19$	$55n + 53$	$16n + 28$	$32n^2 + 45n + 60$

[5]

Zahlendarstellung

RNS Systeme

Anwendungsbeispiele

Literatur

04 Anwendungsbeispiele

- Anwendungen dessen vorherrschenden Operationen Additionen, Subtraktionen und Multiplikationen sind
- High-Speed und Low-Power Systeme
- Fehlererkennung und -korrektur

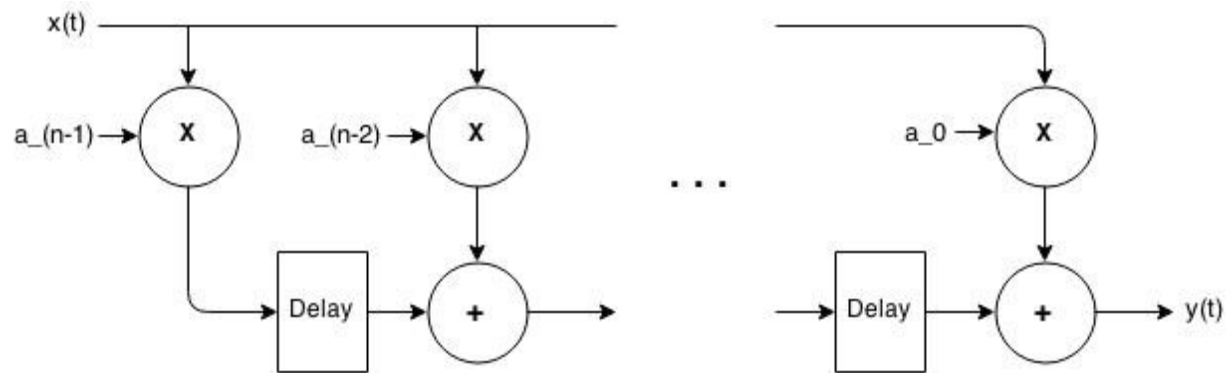
RNS Speedup (32-Bit Ripple-Carry-Adder)

	Measured Delay (ns)	Measured Area ($10^{-3}mm^2$)
32-bit adder	28.67	31.179
Mod 2^{11} adder	8.4	9.949
Mod $2^{11} + 1$ adder	10.77	20.206
Mod $2^{11} - 1$ adder	9.83	18.12
Reverse Converter	11.5	96.892
Mod $2^{11} + 1$ forward conv.	13.8	30.544
Mod $2^{11} - 1$ forward conv.	10.4	26.758

[3]

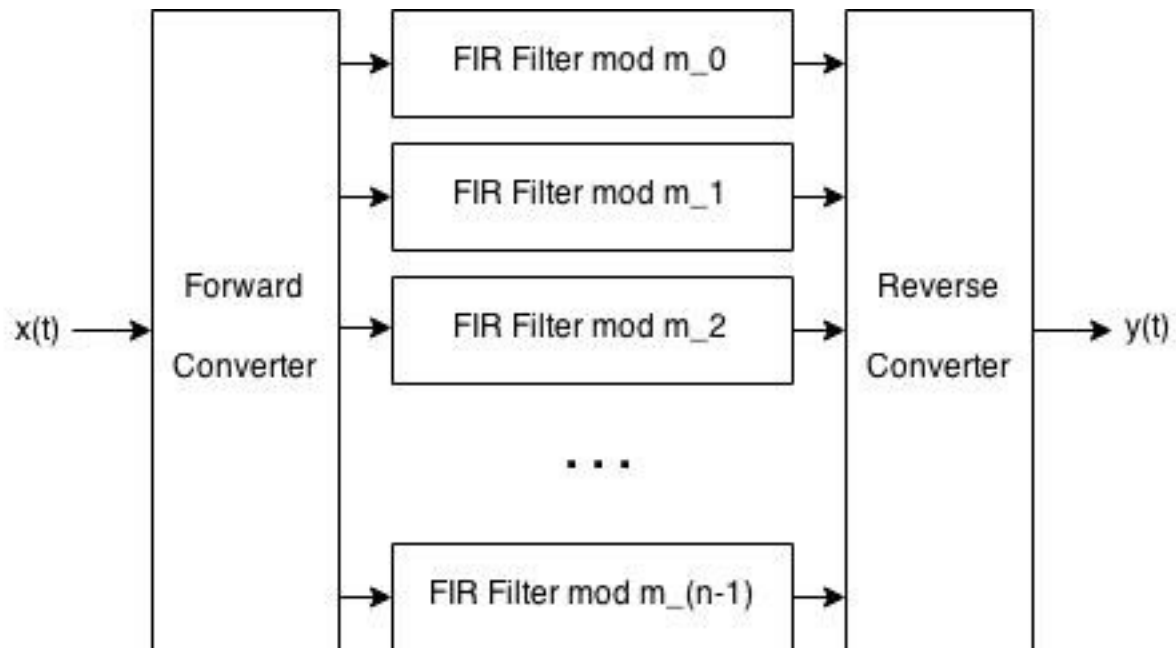
=> Speedup von $28.67/10.77 = 2.66$

FIR-Filter



$$y(n) = \sum_{k=0}^{n-1} a_k * x(n-k)$$

RNS FIR-Filter



Low-Power RNS FIR-Filter

Filter	Cycle [ns]	Latency (cycles)	Area (gate equiv.)	Power [mW]
Trad.	5.0	$N + 1$	$230 + 1250N$	$14.9 + 13.5N$
RNS	5.0	$N + 3$	$2910 + 745N$	$51.0 + 6.9N$

[1]

Modulus	Delay [ns]	Area (gate equiv.)	Power [mW]
3	1.7	2016	0.25
5	3.4	4176	0.62
7	3.8	5004	0.84
11	5.0	9450	1.75
17	5.0	9450	1.76
64	3.2	10134	1.66

[1]

- Kleinere Betriebsspannung
- Dual-Voltage Technik
- Speedup = 1
kein Performance-verlust

One-Hot RNS

- Darstellung einzelner Ziffern im One-Hot-Code

	Wertebereich	Bitbreite (OHC)	#FF (OHC)
Binaercode (8 Bit)	[0,256)	256	256
RNS (5,7,8)	[0,280)	[5,7,8]	5+7+8 = 20

- Einfache und schnelle Implementierung der Arithmetik
- Änderungen reduziert auf Invertieren von maximal zwei Bits

Redundant RNS

- Zusätzliche redundante Moduli ermöglichen die Erkennung und eventuelle Korrektur von fehlerhaften Ziffern
- Unabhängige und ungewichtete Ziffern

Dezimal

$$\begin{array}{r} 15 \\ + 3 \\ \hline 18 \end{array}$$

RRNS (7,5,3,2)

$$\begin{array}{r} [3,0,0,1] \\ + [6,3,0,1] \\ \hline [2,3,1,0] \end{array}$$

$$= 58 \geq 30 \Rightarrow \textit{Fehler}$$

Literatur I

- [1] G.C. Cardarilli, A. Nannarelli and M. Re: „Reducing power dissipation in FIR filters using the residue number system“, Proceedings of the 43rd IEEE Midwest Symposium on Circuits and System, p. 320-323, Lansing, USA, Aug. 2000
- [2] Harvey L. Garner: „The Residue Number System“, IRE Transactions on Electronic Computers, p. 140-147, June 1959
- [3] M. Bhardwaj and A. Balaram: „Low power signal processing architectures using residue arithmetic“, Proc. Of the 1998 IEEE International Conference on Acoustics, p. 3017-3020, Seattle, USA, May 1998
- [4] Lie-Liang Yang and L. Hanzo: „Redundant residue number system based error correction codes“, Vehicular Technology Conference, p. 1472-1476, Atlantic City, USA, Oct. 2001

Literatur II

- [5] D. Younes and P. Steffan: „A comparative study on different moduli sets in residue number system“, International Conference on Computer Systems and Industrial Informatics, p. 1-6, Sharjah, ARE, Dec. 2012
- [6] A. Omondi and B. Premkumar: Residue Number Systems, Theory and Implementation. Imperial College Press, 2007